



# Evaluatie oorzaak pekellekkage in Nedmag pekelcluster april 2018

Vorbereiding: Well Engineering Partners B.V., Hoogeveen

Auteur:

Versie: eerste externe versie

Publicatiedatum: 8 juni 2018

Goedkeuring:

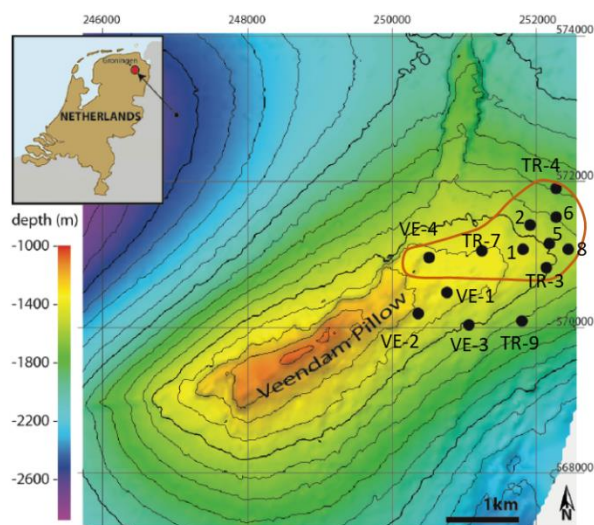


## 1 Inleiding-achtergrond

Nedmag opereert een zoutwinningsoperatie aan de westzijde van Veendam, waar zij magnesiumchloridepekel wint. Door waterinjectie worden de magnesiumhoudende zouten (bischofiet,  $\text{MgCl}_2 \cdot 6\text{H}_2\text{O}$ , carnalliet ( $\text{MgKCl}_3 \cdot 6\text{H}_2\text{O}$ ) en kieseriet ( $\text{MgSO}_4 \cdot \text{H}_2\text{O}$ )) opgelost, waarbij pekkel ontstaat met een hoog  $\text{MgCl}_2$  gehalte en laag gehalte aan andere zouten. Steenzout (haliet,  $\text{NaCl}$ ) en anhydriet ( $\text{CaSO}_4$ ) zijn zo goed als onoplosbaar bij hoge  $\text{MgCl}_2$  concentratie en blijven ofwel onaangetaast zitten ofwel vallen in de caverne die gevormd wordt door de oplossing van Mg-zouten. Dit laatste vormt de sump, een laag met hoge porositeit, die een deel van de pekkel bevat (gebonden pekkel).

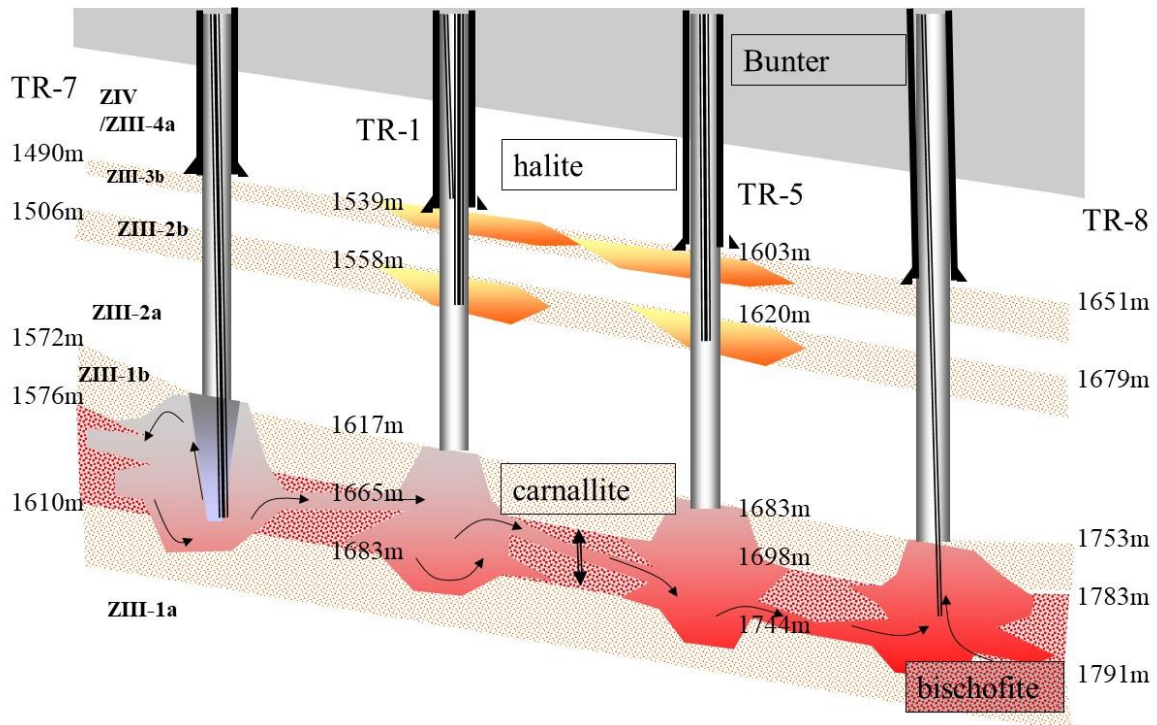
De oplosmijnbouw gebeurde oorspronkelijk (1972-1993) onder hoge (bijna lithostatische) druk en met gebruik van een oliedak, dat zorgt voor horizontale ontwikkeling van de caverne i.p.v. in de hoogte. Doordat de bischofiet, carnalliet en halietlagen niet zeer uniform gelaagd zijn, was het echter moeilijk te voorkomen dat er zich lokale holtes vormden, waar olie niet meer uit kon ontsnappen. Gedurende meer dan 20 jaar is circa 40 000  $\text{m}^3$  olie opgesloten geraakt in een groot aantal kleine holtes, verdeeld over de cavernes.

Vanaf 1993 (als proef met 2 cavernes) en 1995 (voor alle cavernes) is overgestapt op een andere manier van mijnbouw, waarbij de drukken in de cavernes verlaagd werden en (afgezien van de ontwikkeling van nieuwe cavernes) het gebruik van een oliedak is beëindigd. Door de drukdaling stroomden de zoutlagen (en dan met name de zuiverste magnesiumchloridelag bischofiet) richting de cavernes, waardoor deze in volume afnamen. Dit wordt ook wel caverneconvergentie of squeeze genoemd. Dit vertaalde zich in veel hogere productievolumes pekkel ten opzichte van de geïnjecteerde volumes water (van oorspronkelijk bijna 1:1 naar circa 2:1). Van 1995 tot 2018 is er met een wisselend bestand aan putten geïnjecteerd en geproduceerd, waarbij de cavernes op een gegeven moment verbinding met elkaar gingen maken, doordat een deel van de bischofiet tussen de cavernes was opgelost. Het met elkaar in verbinding staande stelsel cavernes (TR-1 t/m TR-8 en VE-4) bevatte begin 2018 circa 7,5 miljoen  $\text{m}^3$  pekkel op basis van een massabalans. Circa de helft hiervan zal zich tussen onopgeloste blokken zout en neergeslagen zoutkristallen (precipitaat) bevinden (de zogenaamde gebonden pekkel) de rest zal zich in min of meer open ruimtes bevinden (de zogenaamde vrije pekkel).



**Figuur 1: Positie van cavernes (casing schoen) geprojecteerd op een dieptekaart top Zechstein. Gebied binnen de getrokken lijn is een indicatie van het gebied waar het cavernecluster zich bevindt**

De druk in de cavernes was in 1995-2007 gedaald met circa 70 bar tot 80 bar sublithostatisch (gebaseerd op put TR-7). In de periode 2009-2018 is de druk in het veld weer iets opgelopen naar 50 bar sublithostatisch. Naast het grote cluster bestaat het caverneveld ook nog uit een recentere put (TR-9) en drie oude putten (VE-1/2/3), die op dit moment geen hydraulische verbinding hebben met het grote cluster.



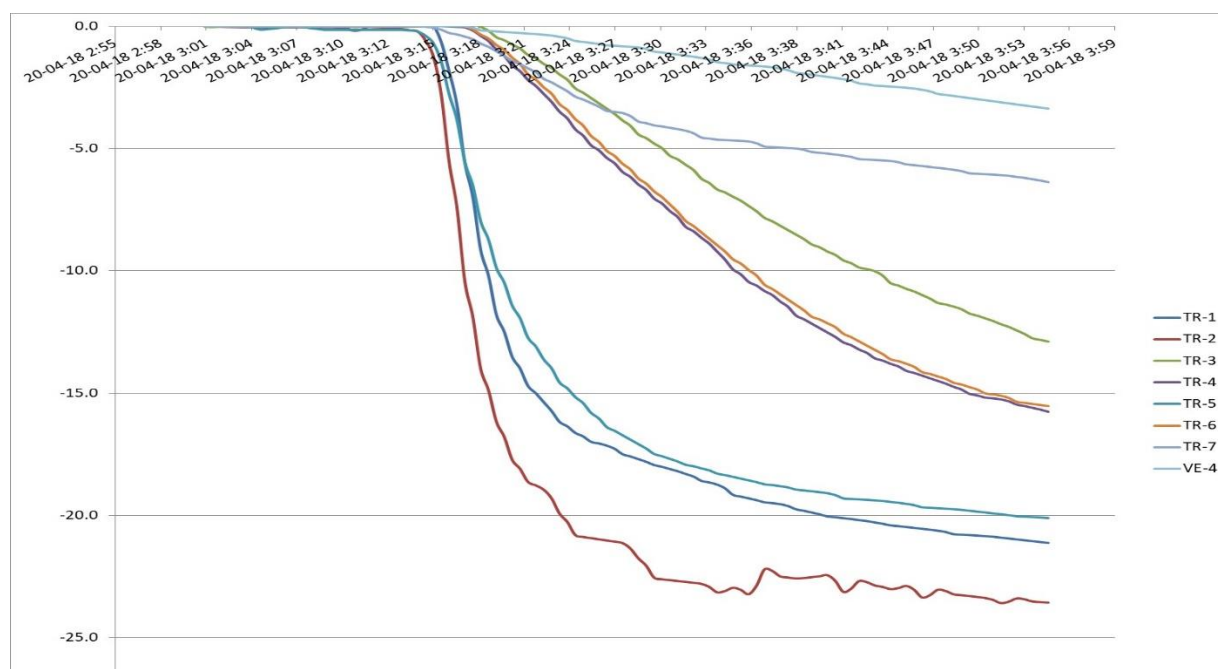
**Figuur 2: Cartoon dwarsdoorsnede cavernes.**

## 2 Incident

Op vrijdag 20 april 2018 om 03:12 in de nacht is er een snelle drukdaling gezien in het caverneveld van Nedmag in Veendam. Een cluster cavernes (TR-1 t/m TR-8 en VE-4), waarvan bekend is dat ze ondergronds (hydraulische) verbinding hebben, daalde snel in druk. De eerste 3 cavernes (TR-1-2-5) daalden 10 bar in druk binnen 3 minuten. De andere cavernes daalden ook in druk, maar langzamer, circa 10 bar in 30 minuten. Daarna daalde het hele cluster langzaam in druk met nog eens 20 bar tot een totale drukdaling van circa 30 bar in 2 dagen. Sinds die tijd (22 april tot 25 mei) is de druk in het caverneveld vrijwel constant, waarbij de druk weer met de productievolumes lijkt samen te hangen.

Er is geen andere verklaring gevonden voor de drukdaling dan een lekkage van pekkel uit het cluster. Het zout zelf heeft geen bergingsvolume (geen porositeit) en beneden de cavernes bevinden zich nog honderden meters zout (ZE-III-1a en de hele ZE-II formatie). De uitgestroomde pekkel is dus met een aan zekerheid grenzende waarschijnlijkheid via een lek gestroomd naar de formaties boven het zout. De vraag is hoe dat kon, hoeveel pekkel dat betrof en waar deze pekkel zich nu of in de toekomst zal bevinden. Een afgeleide vraag is of deze pekkel (en eventueel meegestroomde dakolie) een zoetwaterlaag kan bereiken, die gebruikt wordt (of kan worden) voor de winning van irrigatie- of drinkwater, of op natuurlijke wijze in de sloten kan terechtkomen. Deze memo richt zich op de eerste vraag: wat is de oorzaak van het incident.

In de onderstaande figuur worden de drukdalingen weergegeven in verloop van tijd, met intervallen van 3 minuten.



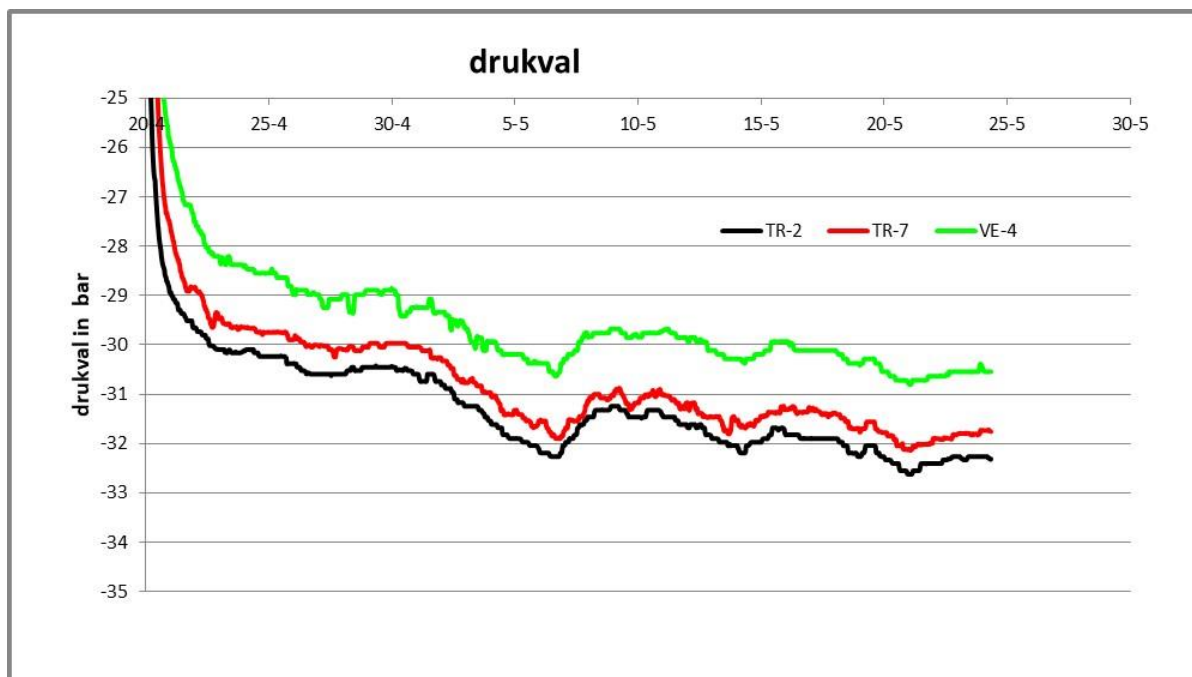
**Figuur 3: Drukdalingen in bar op een 3 minutschaal tot circa 45 minuten na de eerste drukdalingen. TR-2 daalt het snelst, op de voet gevolgd door TR-1 en TR-5. De verst gelegen putten TR-7 en VE-4 reageren het traagst op de drukdaling.**

De verschillen in initiële (30 minuten) drukdaling tussen de cavernes worden toegeschreven aan de hydraulische eigenschappen van de verbinding tussen de pekkelvolumes in de bischofietlagen (ZE-III-1b) onderling en de verbinding met pekkelvolumes in de carnallietlagen daarboven (de ZE-III-2b/3b). De verbinding tussen de meeste cavernes lijkt in de bischofietlaag (1b) te liggen, waar er slechts verbinding is met de 2b/3b lagen via de oorspronkelijke boorgaten in een tussenbank haliet (2a). Cavernes TR1-2-5 lijken ook in de 2b/3b verbinding te hebben, gezien de vrijwel gelijktijdige drukdaling, danwel heeft een op het moment van het incident ontstane scheur in het

zoutdak deze verbinding tot stand gebracht. De drukdaling begon vrijwel gelijktijdig in putten TR-1-2-5, waarbij er slechts een kleine vertraging van minder dan een minuut lijkt te zijn van putten TR-1-5 op TR-2. Het ligt dus voor de hand dat het incident gestart is in of rond het zoutdak van put TR-2. Het gezamenlijke pekervolume van de 2b/3b secties van putten TR-1-2-5 is circa 400.000 m<sup>3</sup>. De rest van het pekervolume van alle verbonden cavernes is circa 7.100.000 m<sup>3</sup>. Zie appendix 1 voor pek- en olievolumes.

Na de eerste uren van lekkage is de stromingsweerstand in het cavernesysteem dermate klein dat de drukafname in de cavernes vrijwel gelijk wordt. Na de eerste paar dagen is druk ongeveer constant (met een marge van 1 bar), waar productie- en injectie-hoeveelheden weinig verschil uitmaken. Daarna (vanaf begin mei) treedt er weer een duidelijke afhankelijkheid op van druk met de productievolumes.

In de weken na het incident is de druk initieel stabiel en daalt daarna langzaam, toe te schrijven aan de verhoogde afvoer van pek- en de zeer sterk verminderde injectie van water. De periodes van lichte drukstijgingen zijn te verklaren door tijdelijk verminderde pekproductie, met name door een verminderde vraag. Vanaf midden mei wordt (bij verlaagde vraag) een deel van de pek afgevoerd naar de Eems, via de Veenkoloniale Afvalwaterleiding, die ook gebruikt wordt voor de afvoer van restpek (met name CaCl<sub>2</sub>) uit de productieprocessen van Nedmag aan de Billitonweg te Veendam.



Figuur 4: drukval t.o.v. 19-april in putten TR-2, TR-7 en VE-4 in de tijd. Beperkte drukschommelingen na 30-4 zijn grotendeels te correleren aan productieschommelingen en de stop van regen- en spelwaterinjectie.

### 3 Uitgestroomde Pekelhoeveelheden

In de eerste 2 dagen van 30 bar drukdaling is er een hoeveelheid pek vrijgekomen die overeenkomt met de expansie van pek- en met het inkomen van de zoutmassieven (caverneconvergentie). Gezien de korte tijd zal dit hoofdzakelijk elastische vervorming zijn. Deze waarden zijn gekalibreerd aan historische drukschommelingen (door bijvoorbeeld onderhoudstops of juist hoge pekverkoop).

In de jaren 2012 en 2017 zijn er meerdere grotere drukschommelingen opgetreden, geel gemarkeerd in de tabellen van appendix 2.

Deze drukschommelingen worden gecorreleerd aan de elastische stijfheid van het complex (pekelsamen). Drukverhogingen en drukdalingen lijken niet anders te verhouden tot verminderde of verhoogde productie, anders dan via invoering van een correctie op de zoutkruip op de gemiddelde cavernedruk. Een redelijke benadering voor 2017 lijkt te zijn dat de kruipconvergentie per maand 23000 m<sup>3</sup> bedraagt bij 67 bar onderdruk (het gemiddelde van de putwaarden), met een toename van 1000 m<sup>3</sup>/maand/bar drukverlaging. Voor 2012 was deze relatie ook te maken. De elastische component (de stijfheid van het systeem) blijkt ergens tussen de 1500 en 3200 m<sup>3</sup> per bar te liggen (P10-P90). De onnauwkeurigheid is het gevolg van afrondingen van putdrukken in de rapportage op hele bar waarde, afhankelijkheid van putdrukken aan het oppervlakte van temperatuurschommelingen door productie of injectie, en door afschatting van de convergentie op basis van einddruk (i.p.v. gemiddelde druk). Conservatief (P60) wordt van 2500 m<sup>3</sup> per bar uitgegaan als huidige stijfheid van het systeem.

Uitgaande van deze waarden, is de uitstroom te berekenen. Bij een drukdaling van 30 bar zal er dus  $30 \times 2500 \text{ m}^3 = 75.000 \text{ m}^3$  zijn uitgestroomd in 2 dagen. Omdat de convergentie ook toenam, die in de eerste weken slechts beperkt naar de productieleidingen kan worden geproduceerd, wordt verwacht dat een additionele 25.000 m<sup>3</sup> is afgelekt (P50) tot een totaal van circa 100.000 m<sup>3</sup>. In een aparte notitie van Nedmag, die ook de gevolgen voor de bodemdaling bespreekt, zal het kruipgedrag en de mogelijke lekkage na de eerste dagen verder worden toegelicht. Als eerste schatting zal de bodemdaling door de lekkage in de eerste dagen circa 0,8 cm bedragen hebben.

Met de P50 aanname, waarbij het drukverloop in de caveerne zich weer lijkt te gedragen volgens de historische gegevens, lijkt het lekken per medio mei grotendeels (of geheel) tot stilstand gekomen te zijn, verklaard doordat de pekeldruk in de caveerne lager is geworden dan de minimum zoutdruk, waardoor de scheur (zie verderop) weer (geheel of grotendeels) sluit. Testen ter bevestiging van deze conclusie lopen. Vooralsnog hanteert Nedmag het standpunt dat het zoveel mogelijk de pekeldruk naar beneden wil brengen, totdat via verdere analyse een veilig drukregime vastgesteld kan worden, waar in de nabije en verdere toekomst afleken onwaarschijnlijk wordt geacht. De heropeningsdruk ligt vermoedelijk dicht boven de sluitdruk, waardoor de sluitdruk als maatgevend wordt genomen.

Aan aanvullende mogelijkheden voor opslag en/of afvoer van magnesiumchloridepekelsamen wordt gewerkt, om er uiteindelijk met voldoende zekerheid ervoor te zorgen dat de pekelsamenproductie groter of gelijk is aan de convergentie, om daarmee de ondergrondse aflek van pekelsamen te beëindigen en beëindigd te houden.

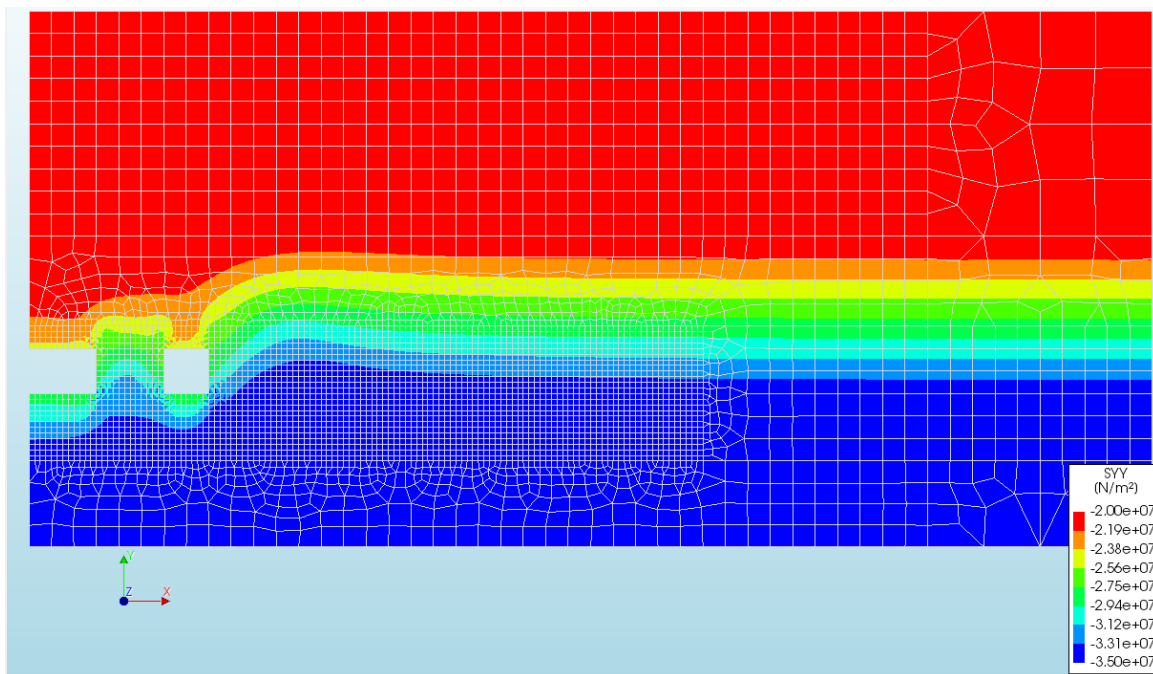
## 4 Lekpad

Er konden slechts 3 denkbare lekpaden worden geïdentificeerd, onder aanname dat zout zelf geen of nauwelijks opslagcapaciteit heeft voor pekelsamen door de afwezigheid van porositeit en de relatief hoge stijfheid. Beneden de cavernes bevinden zich ook nog honderden meters zout (Zechstein II met name)

- Een afgeknapt casing van TR-1,2 of 5, die lekkage naar de formaties boven het zout mogelijk maakt
- Roof fall uit het zoutdak (boven een 2b/3b caveerne van TR-1-2-5), waardoor de pekelsamen rechtstreeks in contact komt met de bovenliggende lagen en uitstroming door permeabiliteit of een formatie-scheur plaatsvindt, te beginnen bij de ca. 340 meter dikke Bunter laag.
- Een scheur in het zoutdak, die de 2b/3b caveerne van TR-1-2-5 in contact brengt met de bovenliggende lagen.

De mogelijkheid van een gebroken casing lijkt na onderzoek op TR-1-2-5 zo goed als uitgesloten als oorzaak van de drukdaling. Wireline operaties met camera's, cement bond logs en wanddiktemeting tonen geen gebreken aan of indicaties van pekelstroming. Het initiële aflekvolume van pekkel kan ook niet door een 10 3/4" casing stromen, aannemende dat op zijn minst 50 meter overbrugd moet worden en de drukval niet hoger is dan 100 bar. De eerste 30 minuten is er met 10 bar drukdaling op het cluster 10 maal 2500 m<sup>3</sup> = 25000 m<sup>3</sup> weggestroomd, overeenkomend met een gemiddeld debiet van 50000 m<sup>3</sup>/uur. Een 10 3/4" casing sectie van 50 m met 100 bar drukval kan niet meer dan 10000 m<sup>3</sup>/uur verwerken, waardoor uitstroming door een gebroken TR-2 casing uitgesloten lijkt. Bij TR-1 en TR-5 zitten er bovendien nog tubings in de casing die stroming hinderen, dus zelfs alle drie casings samen zouden niet het debiet kunnen verklaren.

De mogelijkheid van roof fall uit het zoutdak is niet uit te sluiten, maar de verwachting is dat in dat geval casings beschadigd of verbogen zou zijn. Ook zou het dan in de verwachting gelegen hebben dat dit al eerder gebeurd zou zijn, toen de cavernedruk lager was dan nu, gezien er in de laatste decennia niet meer actief geloofd is in de 2b/3b sectie. Wel is het zoutdak rond TR-2 en wellicht ook TR-5 in het verleden enigszins aangetast door denkbare waterlekages in tubings boven de carnallietlagen of een beperkte dak-instabiliteit rond anhydriet of sylvietlagen, die de overgang vormen tussen de ZE-III-4a en ZE-IV. Er lijkt de laatste jaren echter (ook na de drukval) niets veranderd, zoals volgt uit putmetingen die apart zijn beschreven in een andere notitie.



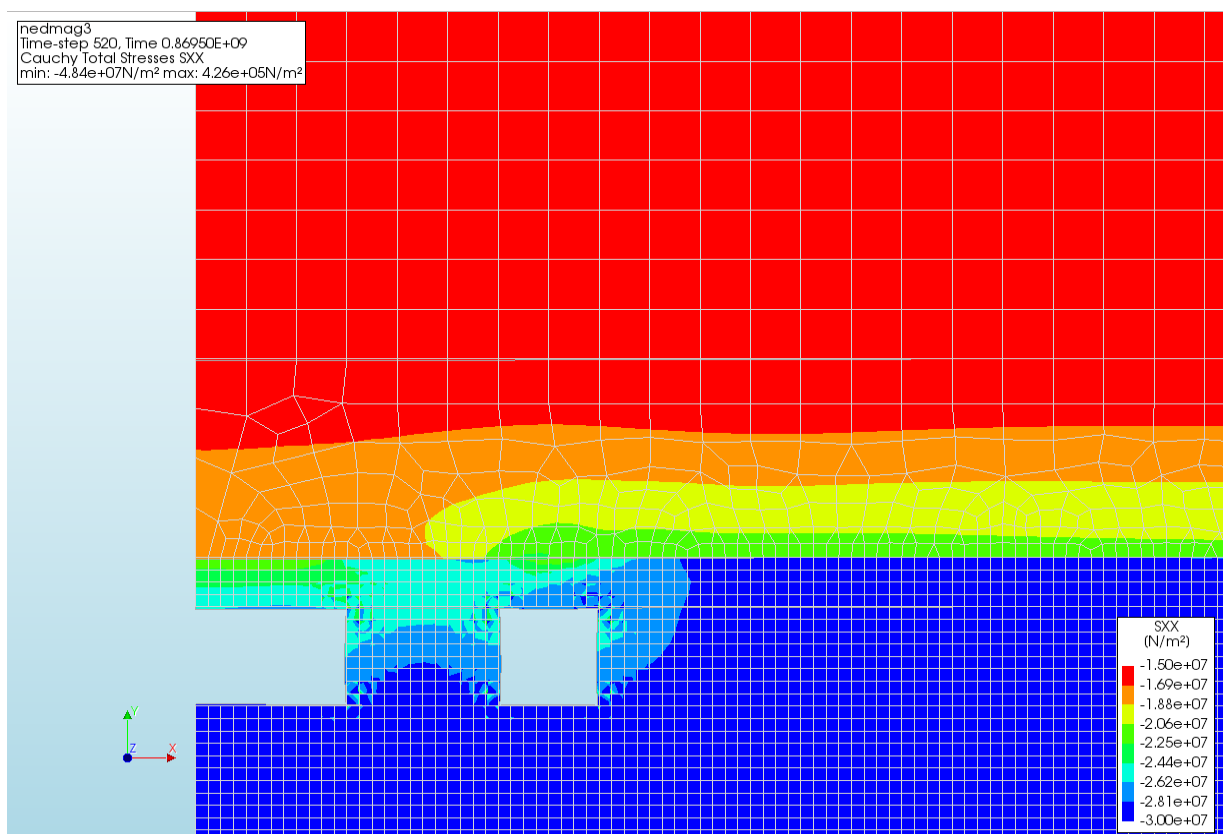
**Figuur 5: verticale spanningen rond het zoutdak door 25 jaar zoutkruip en bodemdaling. De kleurenschaal is gemaximeerd op 200-350 bar (2-3.5e7 N/m<sup>2</sup>). De afname rond de centrale caveerne is circa 50 bar.**

Het ontstaan van een scheur in het zoutdak (en daarboven) lijkt op dit moment de meest voor de hand liggende aanname, om de drukverliezen te verklaren. Er is lang vanuit gegaan dat de spanning in het zoutdak isotroop en lithostatisch zou blijven, en het dak niet zou scheuren alvorens de lithostatische spanning werd bereikt, wat waarschijnlijk ook een redelijke aanname is voor geïsoleerde cavernes van beperkte diameter. Het door Nedmag gehanteerde maximum drukregime van 90% van de berekende lithostatische spanning is hierop gebaseerd.

Door de langdurige onderdruk in het caverneveld treedt bodemdaling op (circa 40 cm per 2018), maar ook spanningsboogwerking (arching). De verticale spanning (en daarmee de horizontale spanning) in het zoutdak in het midden van de cluster neemt af in de tijd. Een eerste inschatting is

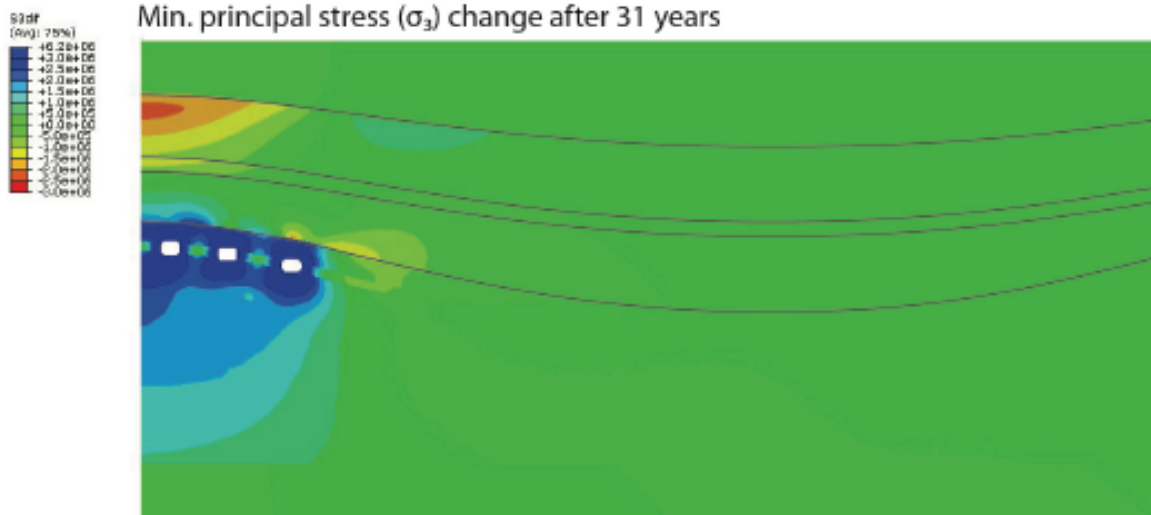
gemaakt met een numeriek axi-symmetrisch model. Bij deze 40 cm bodemdaling en realistische pekeldrukken en gesteentestijfheden, daalt de verticale spanning met circa 50 bar ( $0.5 \cdot 10^7 \text{ N/m}^2$ ). Ook de horizontale spanningen in het zoutdak zijn met een vergelijkbare hoeveelheid gedaald, zie figuur 6 en 7. Figuur 6 laat de horizontale spanningen zien in het axisymmetrische model. Eerdere studies, zoals recent door Raith & Urai (2016) laten eenzelfde beeld zien. In figuur 7 worden de spanningsveranderingen van de minimum principal stress getoond, maar hier voor een 2D plane strain benadering (cavernes als oneindig lange tunnels). De spanningsverlagingen in het halietdak bedragen hier circa 60 bar. Deze studie was echter gericht op het mogelijk belasten van breuken (faults) en niet op de gevolgen van drukverhoging op scheurvorming, waardoor er geen conclusies zijn getrokken betreffende de maximum pekeldruk.

Naast een elastische herverdeling zal het zoutdak initieel spanningen opnemen die door het verlagen van de pekeldruk worden veroorzaakt. Deze spanningen kunnen echter door een zeer geringe hoeveelheid kruip relaxeren en overgenomen worden door de overburden (Bunter). Beide effecten zijn in de berekening meegenomen.



**Figuur 6: horizontale (radiale) spanningen rond het zoutdak door 25 jaar zoutkruip en bodemdaling. De kleurschaal is gemaximeerd op 150-300 bar ( $1.5\text{-}3 \times 10^7 \text{ N/m}^2$ ). De afname rond de centrale cavernes is circa 50 bar.**

Indien de druk in de cavernes langzaam oploopt (Appendix 3), zal de horizontale spanning in het zoutdak iets terugveren door een elastische respons, maar de spanning zal permanent (behalve op geologische tijdschaal wellicht) verlaagd zijn, waardoor het mogelijk wordt om bij pekeldrukken beneden de lithostatische druk het zout te scheuren. Dit effect is in het verleden onvoldoende erkend, ook vanuit de internationale Solution Mining Community. Daar moet worden bij gezegd dat de situatie van Nedmag nogal afwijkt van de situatie van cavernes in (slechts) haliet, zoals het geval in 99% van het aantal cavernes wereldwijd.



**Figuur 7: Verandering in de min principal stress in Pa voor een plain strain benadering door Raith. De spanningsveranderingen in het zout bedragen tot 60 bar ( $6 \cdot 10^6$  Pa). Het plusteken wordt veroorzaakt doordat in Abaqus drukspanningen negatief zijn en minder negatief worden (dus lager in absolute waarde)**

Indien de druk in een scheur daalt onder de minimum spanning, heeft deze de neiging weer te sluiten, waardoor de doorlatendheid sterk afneemt of zelfs vrijwel verwaarloosbaar wordt. Om die reden worden in de olie en gaswereld scheuren vaak voorzien van doorlatend vulmateriaal (proppant) om sluiten tegen te gaan. De kans dat er hard materiaal in de scheur is gekomen is niet groot. Er kan wat gips zijn meegestroomd vanuit de gipsinjectie, maar dat is relatief zacht zolang gips geen anhydrietkristallen vormt. Anhydriet is dermate zwaar dat kristallen niet snel zullen opdwarrelen door een pekelse stroming in een (grote) caverna. Daarnaast kunnen nauwe scheuren met geringe pekelsnelheid mogelijk weer door kristallisatie van zout (door afkoeling of menging van carnalliet en bischofiet-pekels) verstopt raken. Als de pekeldruk weer boven de minimum spanning in het zout komt zal ofwel de oude scheur heropenen ofwel een nieuwe scheur gecreëerd worden. Dit dient in de toekomst dan ook voorkomen te worden, in het bijzonder zolang het cavernacluster nog een groot volume heeft.

## 5 Scheurvorming in de overburden

In de eerste dagen van pekellekkage is er tot  $100\,000\text{ m}^3$  afgelekt naar de Bunter en mogelijk ook naar nog hoger gelegen formaties. De Bunter is ter hoogte van TR-2 circa 340 meter dik en bestaat vermoedelijk voornamelijk uit mudstone (ondanks de soms gebruikte term Bunter sandstone / Buntsandstein), met een niet al te hoge porositeit (7-10%) en vermoedelijk lage permeabiliteit (1 mD). Zie Appendix 4 voor een stratigrafische kolom. Er zijn geen metingen verricht of kernen genomen bij Nedmag of boringen in de omgeving (bij ons weten). In onderzoek is of er externe betrouwbare bronnen zijn voor de m.n. de permeabiliteit van de Bunter maar ook voor andere relevante gesteenteparameters. Boven de Bunter bevindt zich de Solling, die iets kleiiger is en circa 45 m dik. Daarboven bevindt zich een dunne laag (35 m) Vlieland zand, en daarboven bevindt zich de Vlieland Claystone, van circa 100 meter dikte.

Scheurvormingsberekeningen die iets zouden kunnen zeggen over naar welke formaties cavernevloeistof is gelekt zullen worden uitgevoerd door dr. Paul v.d. Hoek (Panterra). Deze worden separaat gerapporteerd.

## Referenties

Raith A., Urai, J. (dec 2016): Squeeze mining-induced stress changes in the faulted overburden of the Veendam salt pillow.



## Appendix 1. Pekelvolumes in tijd en diepte

De pekelvolumes in de 1b en (gecombineerde) 2b/3b lagen zijn geschat uit de injectie en productiegegevens waar met name de convergentievolumes (als verhouding) met beperkte nauwkeurigheid bekend zijn. Aangenomen wordt dat 5% van de convergentie in de 2b/3b plaatsvindt doordat carnalliet minder makkelijk kruipt dan bischofiet. In 1982 is de productie vanuit WHC-2 (TR-putten) aangevangen. In 1993 is aangevangen met een lage-druk operatie.

jaar	cluster	cluster	cluster	rest	rest	rest	total
	1b	2b3b	total	1b	2b3b	total	
	cum	cum	cum	cum	cum	cum	
1982	0.0	0.0	0.0	0.0	0.2	0.2	0.2
1987	0.9	0.1	0.9	0.1	0.2	0.3	1.3
1992	1.3	0.8	2.2	0.3	0.2	0.5	2.6
1997	1.4	1.1	2.5	0.4	0.5	0.9	3.3
2002	1.6	1.7	3.3	0.2	0.5	0.7	4.0
2007	2.5	2.2	4.7	0.2	0.5	0.7	5.4
2012	3.4	2.2	5.6	0.5	0.5	1.0	6.6
2017	4.5	2.2	6.7	1.3	0.5	1.7	8.5
2018	5.3	2.2	7.5	1.3	0.5	1.8	9.2

**Tabel A1: pekelvolumes in de ondergrond, uitgesplitst naar de verbonden cluster en de rest (TR-9 en VE-1-2-3) en per locatie (1b of 2b/3b) per jaar in miljoen m<sup>3</sup>.**

De hoeveelheden dakolie zijn gebaseerd op de historische maandrapporten. De dakolie is toegewezen aan de formatie waar het oliedak zich bevond. Putten TR-7/8/9 zijn niet ontwikkeld in de 2b/3b sectie en VE-3 en VE-4 nauwelijks.

	1b max	2b/3b min	Totaal
	m <sup>3</sup>	m <sup>3</sup>	m <sup>3</sup>
TR-1	2,519	1,360	3,879
TR-2	1,250	2,187	3,437
TR-3	1,273	2,483	3,756
TR-4	3,075	1,721	4,796
TR-5	4,500	747	5,247
TR-6	4,566	2,062	6,628
TR-7	2,400	0	2,400
TR-8	2,584	0	2,584
TR-9	1,077	0	1,077
VE-1	0	2,944	2,944
VE-2	1,851	867	2,718
VE-3	1,311	0	1,311
VE-4	282	0	282
Totaal	26,689	14,371	41,060

Well	2b+ 3b	2b	3b
	m <sup>3</sup>	m <sup>3</sup>	m <sup>3</sup>
TR-1	1,360	1,205	155
TR-2	2,187	1,810	377
TR-5	747	747	0
Totaal	4,294	3,762	532

**Tabel A2: Achtergebleven olievolumes en verdeling per put, zoals volgt uit de injectie en retourbalansen van 1972 tot 2018. Voor de putten TR-1, TR-2, TR5 is nog een onderverdeling gemaakt per 2b/3b formatie.**

## Appendix 2. Elastische respons cavernecomplex (TR-1-8 en VE-4)

Drukverhogingen en drukdalingen lijken zich niet anders te verhouden tot verminderde of verhoogde productie, anders dan via invoering van een correctie op de zoutkruip op de gemiddelde cavernedruk. Een redelijke benadering voor 2017 lijkt te zijn dat de kruipconvergentie per maand 23000 m<sup>3</sup> bedraagt bij 67 bar onderdruk (het gemiddelde van de putwaarden), met een toename van 1000 m<sup>3</sup>/maand/bar drukverlaging. Voor 2012 was deze relatie ook te maken. Bij benadering is de convergentie is het verschil tussen productie en waterinjectie (met kleine aanpassingen voor effecten van oplossing van bischofiet). Bij gelijkblijvende drukken is dit ook de kruip-convergentie. Met een drukcorrectie wordt de kolom "kruip" berekend als zijnde de afwijking van de baseline bij 67 bar onderdruk. Het verschil is dan de elastische component die gedeeld wordt door het drukverschil met de vorige maand. Die elastische component lijkt ergens tussen de 1500 en 3200 m<sup>3</sup> per bar te liggen. De afwijkingen zijn het gevolg van afrondingen en momentopnamen voor een situatie die niet bedoeld was cavernestijfheden te meten. Iets conservatief zal van 2500 m<sup>3</sup> per bar worden uitgegaan.

2017	base at 67	23000	m3/mnd	1000	m3/mnd/bar	
converg.	dp	elastic	p_av	kruip	elastisch	
m3/mnd	bar	m3/bar	bar	m3/mnd	m3/mnd	maand
32752			68	24669	8083	jan
37544	-3.57	-2603.76	72	28242	9302	feb
42890	-0.99	-13757	73	29235	13655	mrt
18012	0.56	-19202.3	72	28679	-10667	apr
4176	5.68	-3314.63	67	23000	-18824	mei
20790	0.50	-3389.31	66	22496	-1707	jun
29148	-2.85	-1330.33	69	25351	3797	jul
9752	1.48	-9516.91	67	23867	-14116	aug
16768	2.05	-2466.91	65	21820	-5052	sep
16777	1.06	-3759.01	64	20760	-3983	okt
16357	1.56	-1822.78	63	19200	-2843	nov
14875	-1.69	3563.998	64	20887	-6012	dec

**Tabel A3: Massabalans 2017 per maand. De kolom "converg." geeft de hoeveelheid zoutverplaatsing (elastisch en kruip), grofweg het verschil tussen productie en injectievolume. De dp is de drukstijging per maand, de p\_av de gemiddelde onderdruk in het cavernecomplex. De kruip is de hoeveelheid kruip (23000 plus een drukcorrectie van 1000 m<sup>3</sup>/maand/bar) en de elastische respons is het verschil tussen de convergentie en de kruip in m<sup>3</sup>/bar. Kleine drukverschillen (<2 bar) geven grote fouten door systeemruis en afrondingen van drukken.**

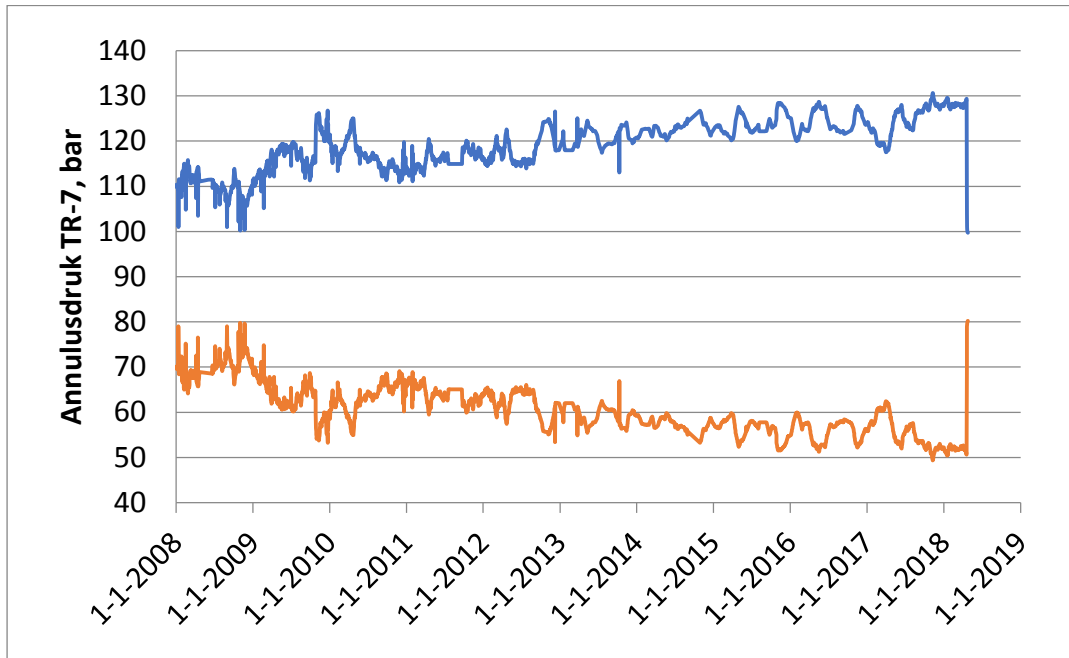
Het jaar 2012 geeft een vergelijkbaar beeld, waar alleen het kruipaandeel hoger is door een 7 bar drukverschil tussen de base-maand (mei). Dit bevestigt de aanname van de extra kruip 1000 m<sup>3</sup>/maand/bar drukdaling als redelijk, hoewel het ondergronds volume in 2012 iets kleiner was. Bij een 30 bar drukdaling kunnen er natuurlijk iets sterkere niet-lineaire afwijkingen plaatsvinden.

2012	base at 74	28000	m3/mnd	1000	m3/mnd/bar	
squeeze	dp	elastic	p_av	kruip	elastisch	
m3/mnd	bar	m3/bar	bar	m3/mnd	m3/mnd/bar	maand
30617			73	26857	3760	jan
17385	0.39	-23287	72	26467	-9082	feb
27834	-0.39	-2504	73	26857	977	mrt
15833	3.29	-2355	69	23571	-7739	apr
38980	-4.43	-2479	74	28000	10980	mei
28750	0.14	6252	74	27857	893	jun
29336	0.57	3588	73	27286	2050	jul
26817	-0.14	4279	73	27429	-611	aug
11274	3.82	-3231	70	23610	-12336	sep
6757	3.98	-3235	66	19630	-12873	okt
21501	-0.51	-2648	66	20143	1358	nov
30892	-3.27	-2292	69	23408	7484	dec

**Tabel A4: Massabalans 2012 per maand.**

### Appendix 3. Drukverloop caverneveld vanaf 2008 (basis TR-7)

De pekeldruk in het cluster is gedaald vanaf 1995, met een productie van ca. tweemaal de injectievolumes. Vanaf medio 2009 is als gevolg van de operationele situatie de caverneveld langzaam opgelopen. De druk van TR-7 is geplot in onderstaand diagram, waar in blauw de annulusdruk is weergegeven en in oranje de (hieruit afgeleide) onderdruk. De onderdruk beneden lithostatisch was vlak voor de pekellekkage circa 50 bar (referentie TR-7).



**Figuur A5: Casingdruk in blauw, en druk beneden lithostatisch in oranje over de periode 2008-2019. De laatste piek is de druksdaling door de lekkage.**

## Appendix 4. Geologie en diepteschatting TR-2

Mesozoïcum			Ypresian	Basal Dongen Tuffite NLFFT	Tuffaceous clays, blue to violet-grey in colour, alternating with dark-grey and red-brown clays.	TR2 TVD	
			Landen NLLF	Paleocene Thanetian	Landen Clay NLLFC	Grey to greenish grey clays with local marl intercalations (especially in the basal part). The member contains glauconite, pyrite and mica.	368
	Chalk OK	Cretaceous	Ommelanden OKGR	Upper Cretaceous Turonian to Maastrichtian		Succession of white and light-grey marls, chalks and fine grained limestones, in places very argillaceous. Traces of chert, pyrite and scattered glauconite.	
			Texel OKTX	Cenomanian	Plenus Marl OKTXP Texel Marlstone OKTXM	Dark-grey, partly black, calcareous, laminated claystone. White to light-grey, locally pinkish, limestones and marly chalks or marls. Tr. of chert, pyrite & glauconite.	
	Rijnland KN	Cretaceous	Holland KNGL	Lower Cretaceous Middle to Late Albian	Upper Holland Marl KNGLU	Grey and/or red-brown calcareous shaly claystone with a distinctly lower lime content than the under- and overlying members.	
				Late Aptian to Early Albian	Middle Holland Claystone KNGLM	Grey and/or red-brown calcareous shaly claystone with a distinctly lower lime content than the under- and overlying members.	
				Early Aptian	Lower Holland Marl KNGLL	Generally consists of grey and red-brown marl or calcareous, fissile claystone, frequently with intercalated bituminous claystone beds.	1010
			Vlieland Claystone KNNC	Valanginian to Barremian/Early Aptian	Vlieland Claystone KNNCM	Dark brownish-grey to grey claystone. Mica and very fine lignitic matter are common. Slightly calcareous.	1110
			Vlieland Sandstone KNNS		Friesland KNNSF	Mainly consists of fine- to medium-grained argillaceous, glauconitic sandstones. Bioturbation, mica, shell fragments and lignite particles are often present.	
	Upper Germanic Trias RN	Triassic	Solling RNSO	Upper Triassic Latest Scythian	Solling Claystone RNSOC	Red, green and locally grey claystones, which often show high gamma-ray readings in the basal part.	1145
	Lower Germanic Trias RB		Buntsandstein RBSH	Late Permian to Early Scythian	Volpriehausen Clay-Siltstone RBMVC	Fining-upwards cycles of fine-grained sandstone, siltstone, and claystone. Oolite beds may be intercalated. It displays reddish to greenish colours.	1190
					L. Volpriehausen Sandstone RBMVL	Pink to grey, (sub-)arkosic sandstone unit.	
					Rogenstein RBSHR	This member is distinguished from the Main Claystone Member by the regular intercalation of up to 1 m thick oolite beds in the small-scale cycles.	
	Main Claystone RBSHM	The member consists of a succession of red-brown to green silty, sometimes anhydritic claystones. Some thin sandstone beds and oolitic beds can be present.					
	Zechstein ZE	Zechstein Uooper	Late Permian Thuringian			Red-brown to pale brown, occasionally grey-green claystones with some anhydrite and/or carbonate	1530

Figuur A6: geologie met (TVD) dieptes TR2